

Лекция 1 по курсу «Дискретные преобразования сигналов»

4 февраля 2025 г.

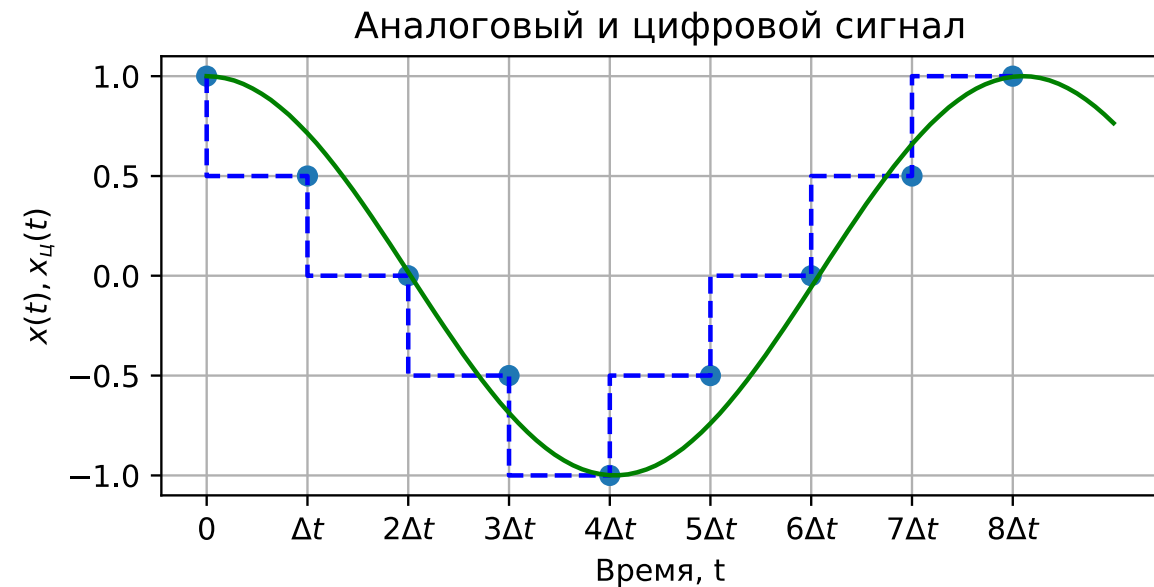
Предисловие к лекционному курсу.

1. Классификация сигналов: аналоговые, дискретные и цифровые сигналы.

Понятия дискретизации и квантования.

Способы описания дискретных сигналов.

Шум квантования АЦП.



Лекционный курс

«Дискретные преобразования сигналов»

3 курс (бакалавриат, специалитет)

Б01-201, Б01-202, Б01-203, Б01-204, Б01-205,
Б01-206, Б01-207, Б01-208, Б01-209, С01-219

Лекторы: Леус Андрей Владимирович,
Тормагов Тимофей Алексеевич,
tormagov@phystech.edu

Лекции по вторникам в 10:45—12:10 в Б.Физ ЛК.

Материалы лекций и новости курса публикуются в LMS и на сайте кафедры.

Гостевая авторизация student student5xx
<http://kprf.mipt.ru/index.php/uchebnye-kursy2/diskretnye-preobrazovaniya-signalov/88-dsp-3-2025>

Страница курса в LMS

<https://lms.mipt.ru/course/view.php?id=1564&type=lecture>

Тематика курса: дискретизация сигналов, дискретное во времени и дискретное преобразования Фурье и их применение для анализа сигналов, основы цифрового спектрального анализа детерминированных сигналов.

Обратите внимание, что «Радиофизическая лаборатория» и «Дискретные преобразования сигналов» — две разные дисциплины, по которым выставляются отдельные оценки.

Предисловие к лекционному курсу

№	Дата	Тема
1	4 февраля 2025 г.	1. Классификация сигналов. Аналоговые, дискретные и цифровые сигналы. Понятия дискретизации и квантования. Шум квантования АЦП.
2	11 февраля	2. Спектры периодических и импульсных сигналов. Преобразование Фурье, его свойства. Примеры спектров импульсных сигналов (прямоугольный импульс, треугольный импульс, приподнятый косинус, гаусовский импульс). Спектр дельта-функции. Спектр последовательности из N прямоугольных импульсов. Частотные характеристики сигнала. Двойственность (дуальность) преобразования Фурье.
3	18 февраля	Спектры гармонических сигналов. Растекание спектральных компонент при ограничении сигнала по длительности. Спектр периодического сигнала (в общем виде).
4	25 февраля	3. Дискретизация аналоговых сигналов. Спектр дискретизованного сигнала. Эффект наложения. Теорема Котельникова во временной области. Выбор частоты дискретизации. Субдискретизация.
5	4 марта	4. Дискретное во времени преобразование Фурье (ДВПФ). Оценка спектра сигнала по последовательности его отсчетов. Формы записи ДВПФ для разных частотных переменных. Сходимость ДВПФ. Примеры.
6	11 марта	Свойства ДВПФ: линейность, теорема запаздывания, теорема смещения, равенство Парсеваля, теоремы о свертке, ДВПФ периодических последовательностей.
7	18 марта	5. Дискретное преобразование Фурье (ДПФ): формы записи, свойства, области применения (периодические сигналы и сигналы конечной длительности). Матричная форма ДПФ.
8	25 марта	6. Связь между ДПФ и ДВПФ Связь ДПФ и ДВПФ для периодических последовательностей, пример для отсчетов гармонического сигнала. Связь ДПФ и ДВПФ для последовательностей конечной длительности, интерполяция ДВПФ путем добавления нулевых отсчетов в сигнал. Интерполяционная формула восстановления ДВПФ по коэффициентам ДПФ. Частотная ось

		ДПФ, связь с частотами в спектрах аналогового и дискретного сигналов.
9	1 апреля	Контрольная работа №1 (по лекциям 1-8).
10	8 апреля	7. Окна в цифровом спектральном анализе методом ДПФ. Этапы обработки непрерывного сигнала при Фурье-анализе методом ДПФ. Эффекты растекания спектральных компонент («leakage») и утечки спектра через боковые лепестки окна. Примеры основных оконных функции (прямоугольное, треугольное, Ханна, Хемминга, Блэкмана) и их характеристики. Условия различения соседних гармонических компонент одинаковой амплитуды.
11	15 апреля	Оценка амплитуд компонент: усиление преобразования, паразитная амплитудная модуляция спектра, коэффициент амплитудной модуляции, окно с плоской вершиной. Примеры параметрических окон: окно Чебышева, окно Кайзера.
12	22 апреля	8. Кратковременное дискретное преобразование Фурье (STFT). Формула анализа. Разрешения по времени и по частоте. Обратимость.
13	29 апреля	9. Быстрое преобразование Фурье. Алгоритм БПФ для составной размерности N . Алгоритмы БПФ с основанием 2. Разбиение N -точечного ДПФ на два $N/2$ -точечных. Алгоритм БПФ с основанием 4. Эффективное вычисление свертки с использованием БПФ.
14	6 мая	10. Представление сигналов ортогональными рядами. Общий метод дискретизации. Полные ортонормированные системы. Обобщённые ряды Фурье. Примеры базисных функций: функции отсчётов, комплексные экспоненциальные и дискретные экспоненциальные функции, функции Уолша, функции Хаара.
15	13 мая	Контрольная работа №2 (по лекциям 10-14).
16	20 мая	Дифференцированный зачет.

Основная литература

1. Романюк Ю.А. Основы цифровой обработки сигналов. Учебное пособие. Часть 1. М.: МФТИ, 2007.
2. Романюк Ю.А. Дискретное преобразование Фурье в цифровом спектральном анализе. Уч. пособие. М.: МФТИ, 2007.
3. Дискретизация аналоговых сигналов: методические указания к лабораторной работе по курсу «Радиофизическая лаборатория» / сост. Т. А. Тормагов, Д. А. Питеримов, А. В. Леус, Ю. А. Романюк. – Москва : МФТИ, 2024. – 44 с. [Эл. версия на books.mipt.ru](https://books.mipt.ru)

Дополнительная литература

4. Солонина А.И. Цифровая обработка сигналов в зеркале MATLAB: учеб. пособие. — СПб.: БХВ-Петербург, 2021. — 560 с.: ил.
5. Сергиенко А.Б. Цифровая обработка сигналов. – СПб.: Питер, 2013 г.
6. Цифровая обработка сигналов / А. Оппенгейм, Р. Шафер; пер. с англ. под ред. С. Ф. Боева — 3-е изд., испр. — М.: Техносфера, 2019 .— 1048 с.

Печатные учебные пособия ([1,2, 4,5]) есть в библиотеке МФТИ

Примеры в ipynb.

Большая часть лекций содержит дополнительные примеры на Python (файлы вида ex_lec1.ipynb).

Их можно открыть в программе Jupyter Notebook, содержащейся в дистрибутиве Python Anaconda.

<https://docs.anaconda.com/anaconda/install/>

Интерактивные графики доступны в следующих бэкендах библиотеки matplotlib.

- Для новых версий Anaconda %matplotlib widget (pip install --upgrade jupyterlab ipynb).
- Для старых версий %matplotlib notebook .

Предисловие к лекционному курсу

Задачи с лекций

- Типовые задачи для контрольных работ и дифференцированного зачета.
- Решения оцениваются с помощью тестов для самопроверки по задачам с лекции в LMS

Контрольные работы

- Форма текущего контроля по курсу.
- Варианты индивидуальные (120). Каждый вариант содержит три задачи.
- Для успешного результата на контрольной работе рекомендуется решать задачи с лекций и разбирать материалы прочитанных лекций.
- Во время контрольной работы студенты могут пользоваться конспектами лекций и справочной литературой, в том числе в электронном виде. Не запрещается (и даже поощряется) использование средств компьютерного моделирования, например, в целях проверки своих решений.
- Пропущенные по уважительной причине контрольные работы (подтверждается справкой или допуском из деканата) можно написать в другое согласованное время.

Дифференцированный зачет состоит из письменной и устной части. Письменная часть содержит теоретический вопрос и задачи, устная – опрос по программе курса. На зачете можно зачесть оценку по результатам работы в семестре, которая вычисляется по правилу

$$S = \begin{cases} \frac{KP_1 + KP_2 + LMS + Lecture}{2,4}, & \text{если обе } KP_i \geq 1. \\ 2, & \text{иначе,} \end{cases}$$

где

- KP_1 и KP_2 — оценки за контрольные работы,
- LMS — баллы за решения задач с лекций в LMS (меньше 65% - 0 баллов, 65%-84% - 1 балл, от 85 % – 2 балла),
- $Lecture$ — балл за задачи на лекциях (вещественное число от 0 до 2).

Оценка округляется до ближайшего целого.

Предварительная оценка не учитывается, если сдается полноценный зачет.

Предисловие к лекционному курсу

Примеры расчета оценки.

а)

$$KP_1 = 4, KP_2 = 6, LMS = 0, Lecture = 0,$$

$$S = \left[\frac{10}{2,4} \right] = 4.$$

б)

$$KP_1 = 4, KP_2 = 6, LMS = 2, Lecture = 2,$$

$$S = \left[\frac{14}{2,4} \right] = 6.$$

в)

$$KP_1 = 1, KP_2 = 9, LMS = 0, Lecture = 0,$$

$$S = \left[\frac{11}{2,4} \right] = 4.$$

г)

$$KP_1 = 0, KP_2 = 9, LMS = 0, Lecture = 0,$$

$$S = 2.$$

д)

$$KP_1 = 9, KP_2 = 8, LMS = 0, Lecture = 0,$$

$$S = \left[\frac{17}{2,4} \right] = 7.$$

е)

$$KP_1 = 10, KP_2 = 9, LMS = 2, Lecture = 1,8,$$

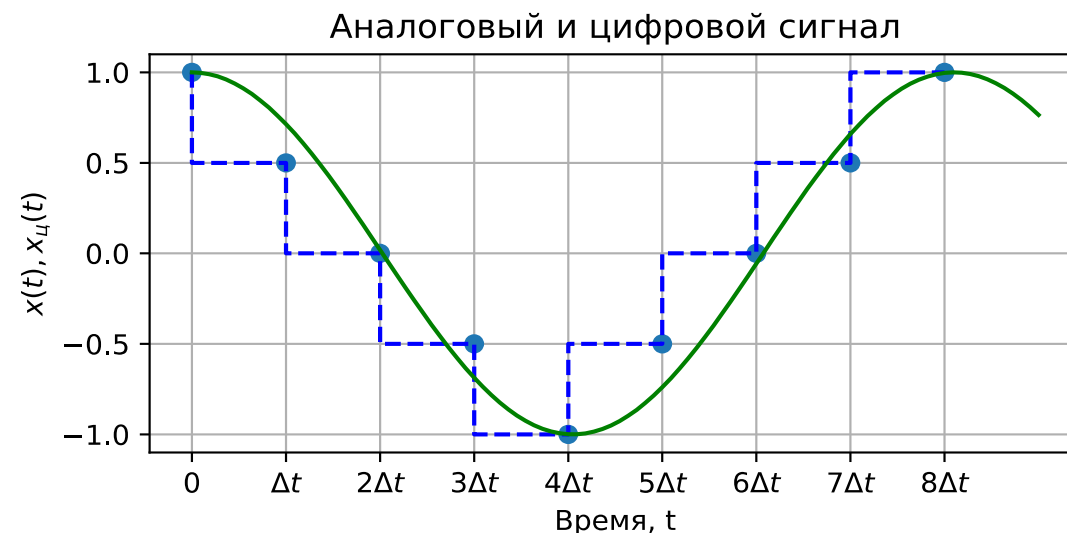
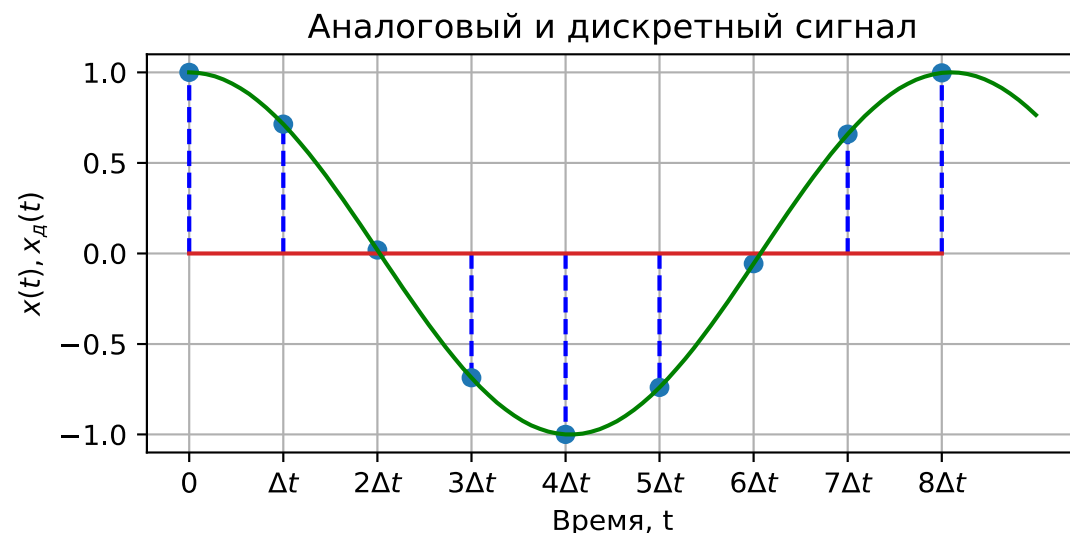
$$S = \left[\frac{22,8}{2,4} \right] = 10.$$

ж)

$$KP_1 = 10, KP_2 = 10, LMS = 2, Lecture = 0,$$

$$S = \left[\frac{22}{2,4} \right] = 9.$$

Классификация сигналов: аналоговые, дискретные, цифровые.



Классификация сигналов: аналоговые, дискретные и цифровые сигналы.

Аналоговые или непрерывные сигналы $x(t)$ описываются непрерывными и кусочно-непрерывными функциями, причем как сама функция, так и ее аргумент могут принимать любые значения в пределах некоторого интервала.

Дискретные сигналы, могут быть описаны в виде счетного набора отсчетов (значений) в заданные моменты времени $k\Delta t$, $k \in \mathbb{Z}$, где Δt — шаг дискретизации. Частота

дискретизации f_d (размерность в Гц) — это величина, обратная шагу дискретизации $f_d = 1 / \Delta t$.

Цифровые сигналы, помимо того, что они являются дискретными, могут принимать лишь конечное число значений, соответствующих уровням квантования. Процесс преобразования аналогового сигнала в цифровой состоит из операций *дискретизации* и *квантования*, которые осуществляются *аналого-цифровым преобразователем (АЦП)*. Обычно число уровней квантования 2^m , где m — разрядность АЦП.

Напоминание про дельта-функцию

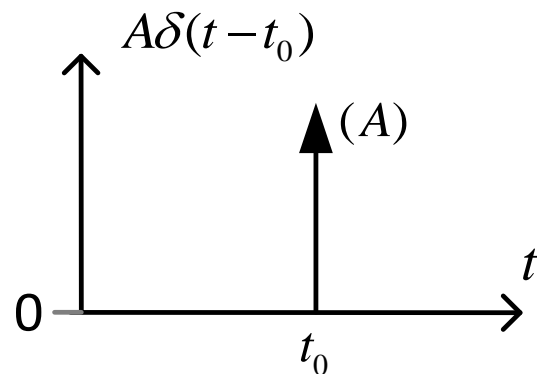
Напоминание про дельта-функцию

Для дельта-функции справедливо соотношение

$$\int_{t_0-\varepsilon}^{t_0+\varepsilon} \delta(t-t_0) dt = 1 \quad \forall \varepsilon > 0.$$

Рассмотрим сигнал $y(t) = A\delta(t-t_0)$, $A \in \mathbb{C}$. Это дельта-функция в точке t_0 оси времени. Площадь под графиком

$$\int_{t_0-\varepsilon}^{t_0+\varepsilon} A\delta(t-t_0) dt = A \quad \forall \varepsilon > 0.$$



Предположим, что дельта-функция интегрируема по интервалу $(-\infty, t)$. Тогда

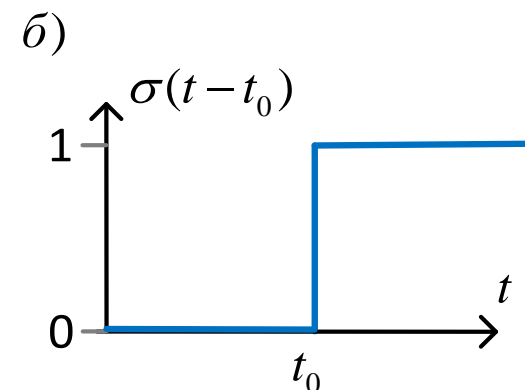
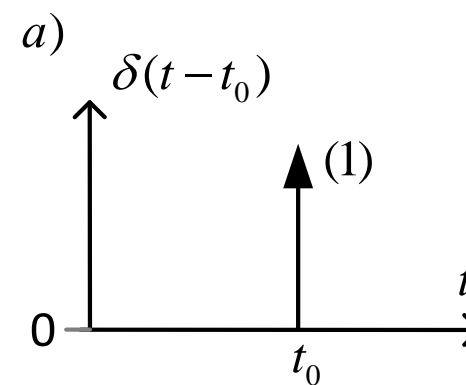
$$\int_{-\infty}^t \delta(\tau-t_0) d\tau = \sigma(t-t_0),$$

где $\sigma(t-t_0)$ – функция единичного скачка или функция Хевисайда:

$$\sigma(t-t_0) = \begin{cases} 0 & \text{при } t < t_0, \\ 1/2 & \text{при } t = t_0, \\ 1 & \text{при } t > t_0. \end{cases}$$

Функция единичного скачка является интегралом от дельта-функции, а значит

$$\sigma'(t-t_0) = \delta(t-t_0).$$



a – дельта-функция, *б* – функция единичного скачка

Напоминание про дельта-функцию

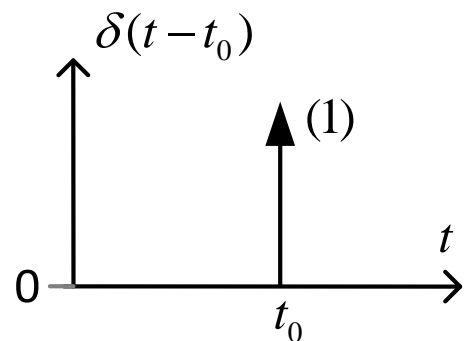
Фильтрующее свойство дельта-функции: её свёртка с любой ограниченной и непрерывной в точке t_0 функцией $x(t)$ равна

$$\int_a^b x(t)\delta(t-t_0) dt = \begin{cases} x(t_0), & a < t_0 < b, \\ (1/2)x(t_0), & t_0 = a \text{ или } t_0 = b, \\ 0, & t_0 < a, \quad t_0 > b. \end{cases}$$

Если функция $x(t)$ в точке $t = t_0$ имеет разрыв первого рода, то

$$\int_a^b x(t)\delta(t-t_0) dt = (1/2)[x(t_{0+}) + x(t_{0-})], \quad a < t_0 < b,$$

где $x(t_{0+})$ и $x(t_{0-})$ – значения $x(t)$ справа и слева от точки разрыва.



Если a – действительная величина, то выполняются следующие равенства:

$$\int_{-\infty}^{\infty} x(t)\delta(t-a) dt = x(a),$$

$$x(t) \cdot \delta(t-a) = x(a) \cdot \delta(t-a),$$

$$\delta[(t-t_0)/a] = |a|\delta(t-t_0),$$

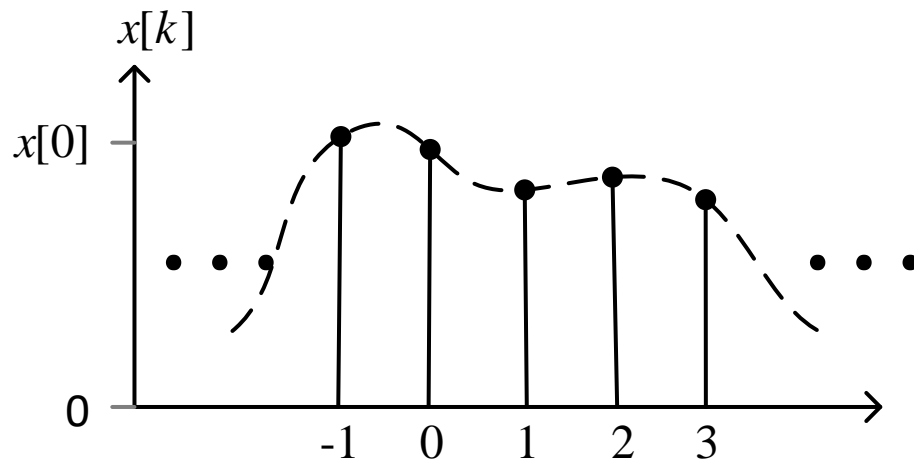
$$\delta(at-t_0) = \frac{1}{|a|}\delta\left(t-\frac{t_0}{a}\right).$$

Способы описания дискретных сигналов

Способы описания дискретных сигналов

1) *Функция дискретного времени k .*

Это описание дискретного сигнала в виде последовательности отсчетов $x[k]$ в заданные моменты времени $k\Delta t$, $k \in \mathbb{Z}$, где Δt — шаг дискретизации. Далее мы будем использовать квадратные скобки для обозначения функций дискретного аргумента.

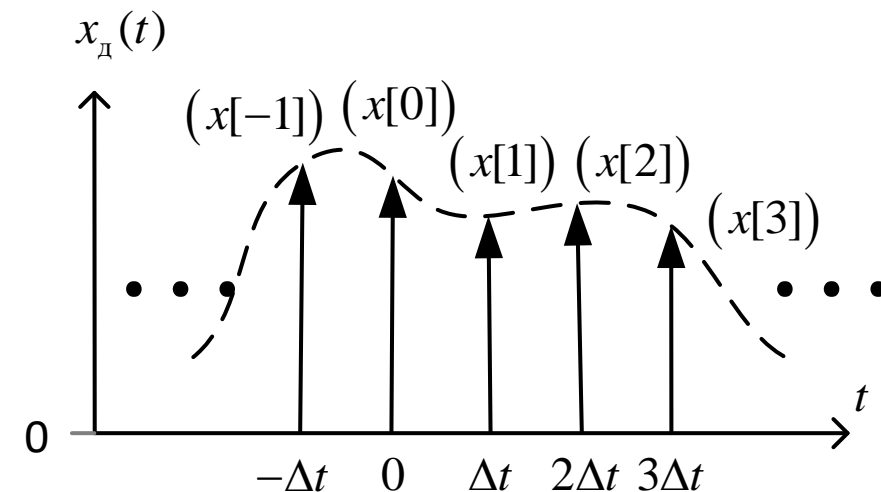


k	-1	0	1	2	3
$x[k]$	$x[-1]$	$x[0]$	$x[1]$	$x[2]$	$x[3]$

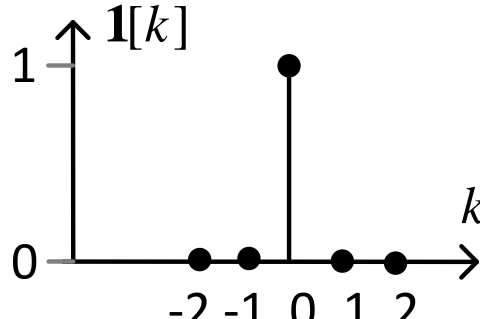
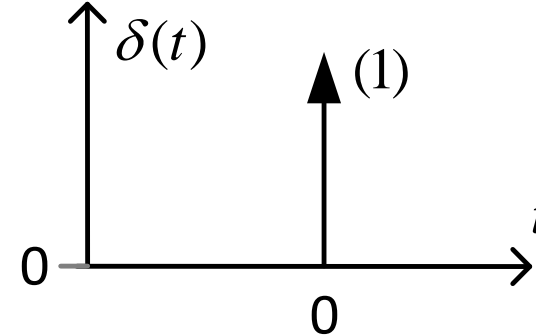
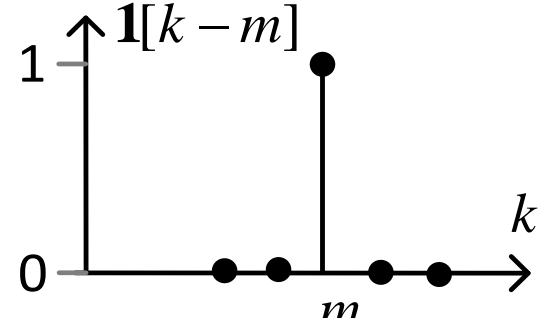
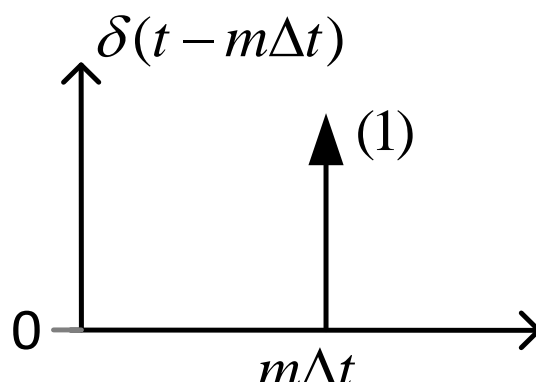
2) *Функция непрерывного времени t (континуальная запись).*

$$x_{\text{д}}(t) = \sum_{k=-\infty}^{\infty} x[k]\delta(t - k\Delta t)$$

В этой записи дискретный сигнал представляет собой последовательность дельта-функций с площадями $x[k]$.



Способы описания дискретных сигналов

Описание в виде функции дискретного времени	Описание в виде функции непрерывного времени
Единичный импульс в точке 0	
$\mathbf{1}[k] = \begin{cases} 1, & \text{при } k = 0, \\ 0, & \text{при } k \neq 0. \end{cases}$ (единичный импульс) 	$\delta(t)$ (дельта-функция Дирака) 
Единичный импульс в точке m	
$\mathbf{1}[k - m] = \begin{cases} 1, & \text{при } k = m, \\ 0, & \text{при } k \neq m. \end{cases}$ 	$\delta(t - m\Delta t)$ 

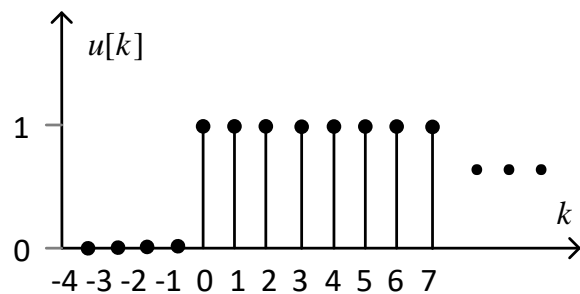
Способы описания дискретных сигналов

Описание в виде
функции дискретного времени

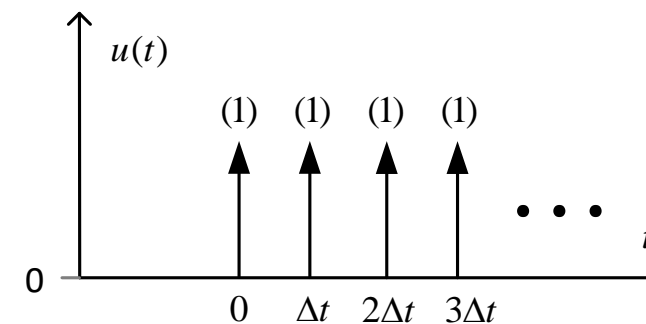
Описание в виде
функции непрерывного времени

Дискретная функция включения

$$u[k] = \begin{cases} 1, & \text{при } k \geq 0, \\ 0, & \text{при } k < 0. \end{cases}$$

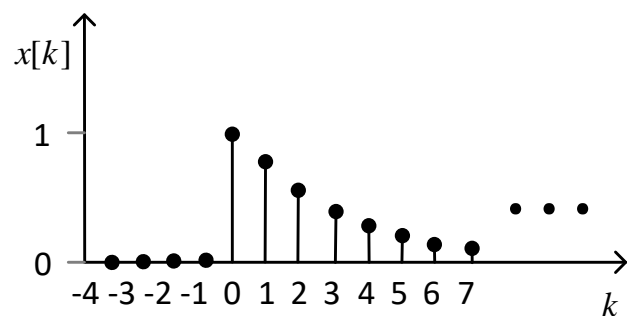


$$\sum_{m=0}^{\infty} \delta(t - m\Delta t)$$



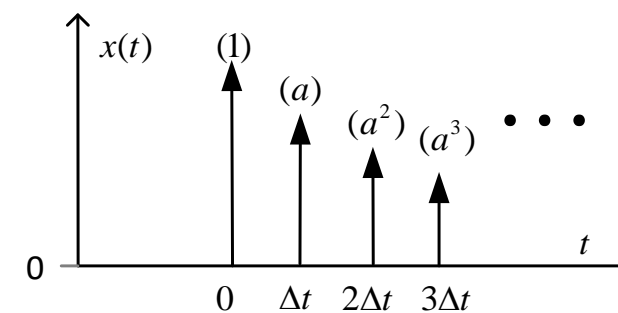
Дискретная экспонента

$$x[k] = \begin{cases} a^k, & \text{при } k \geq 0, \\ 0, & \text{при } k < 0. \end{cases}$$



случай $0 < a < 1$

$$\sum_{m=0}^{\infty} a^m \delta(t - m\Delta t)$$



случай $0 < a < 1$

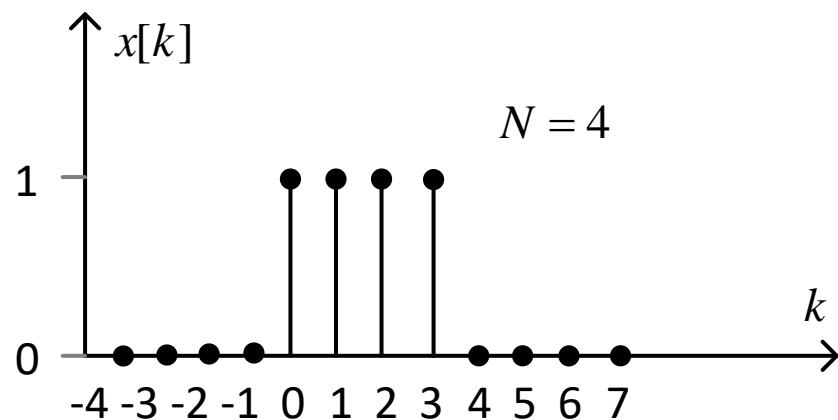
Способы описания дискретных сигналов

Описание в виде
функции дискретного времени

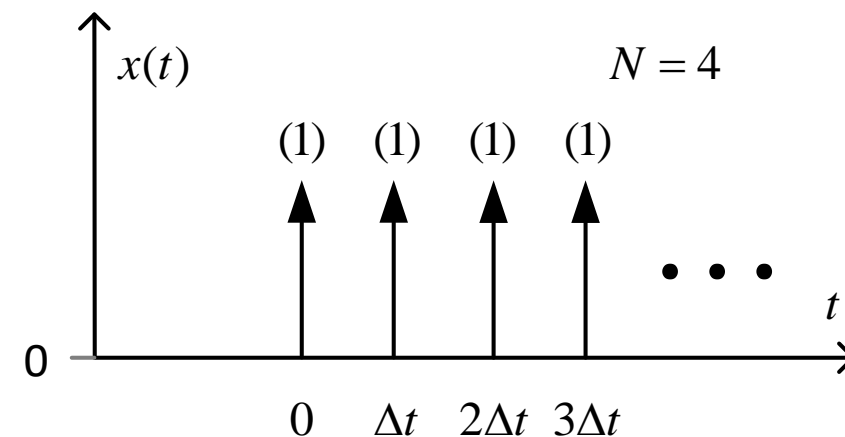
Описание в виде
функции непрерывного времени

Последовательность из N единичных импульсов

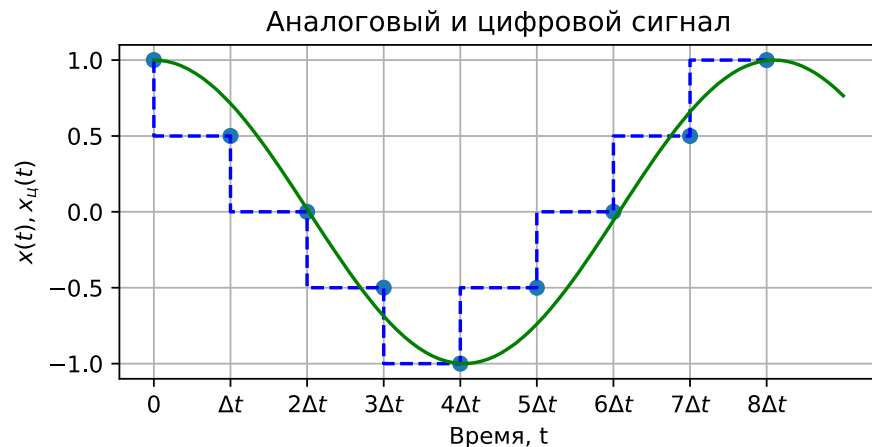
$$x[k] = \sum_{m=0}^{N-1} \mathbf{1}[k - m]$$



$$x(t) = \sum_{m=0}^{N-1} \delta(t - m\Delta t)$$



Шум квантования АЦП



Шумы квантования неизбежно проявляются, поскольку, как правило, разрядность чисел для представления отсчетов, ограничена.

Процесс преобразования аналогового сигнала в цифровой состоит из дискретизации и квантования, которые осуществляются аналого-цифровым преобразователем (АЦП).

В результате дискретизации взятием отсчетов мы получаем выборки аналогового сигнала $x_a(t)$:

$$x[k] = x_a(k\Delta t),$$

где Δt — шаг дискретизации.

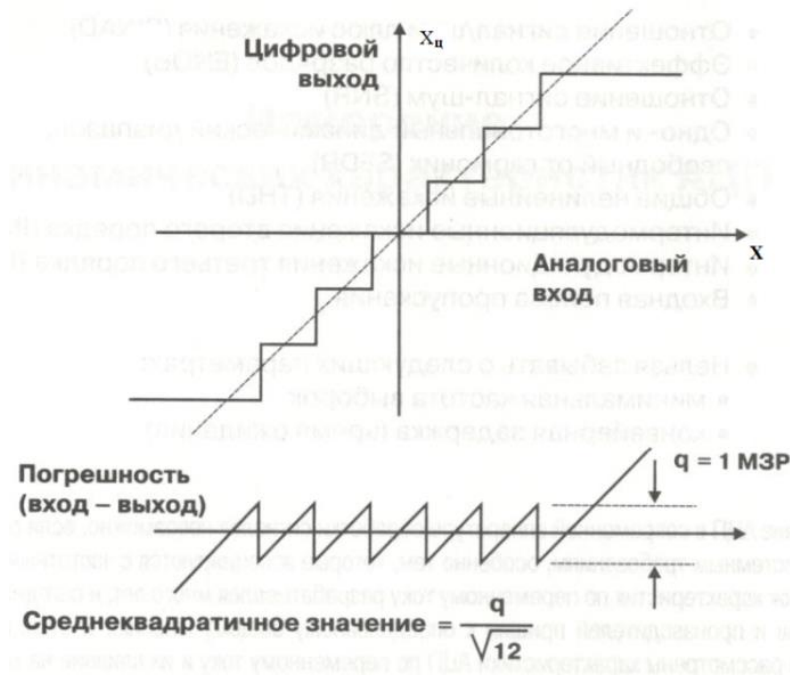
После квантования по уровню, мы получаем цифровой сигнал:

$$x_{ц}[k] = x[k] - e[k],$$

где $e[k] = x[k] - x_{ц}[k]$ — это погрешность квантования — некоторая реализацию шума квантования.

Обычно число уровней квантования 2^n , где n — разрядность АЦП. АЦП осциллографа PV6501 8 битное (восьмиразрядное). Каждый отсчет в буфере описывается одним из $2^8 = 256$ состояний.

Шум квантования АЦП



Определим шум квантования стандартного n -разрядного АЦП. Погрешность квантования $e[k] = x[k] - x_{ц}[k]$.

Максимальная по модулю погрешность квантования составляет половину единицы младшего значащего разряда (шага квантования) q :

$$-\frac{q}{2} \leq e[k] \leq \frac{q}{2}$$

Заметим, что для каждого момента времени все возможные значения погрешности равновероятны.

Шум квантования не коррелирован с входным сигналом и имеет равномерное распределение на отрезке.

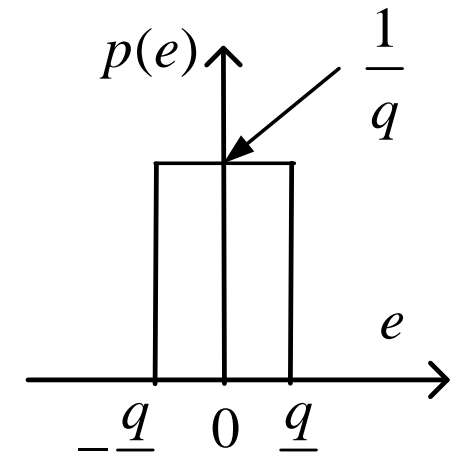
Для плотности вероятности $p(e)$ должно быть выполнено:

$$\int_{-q/2}^{q/2} p(e) de = 1.$$

Ошибка квантования имеет нулевое среднее и дисперсию

$$M[e] = \int_{-q/2}^{q/2} ep(e) de = 0,$$

$$\sigma_e^2 = M[e^2] - (M[e])^2 = \int_{-q/2}^{q/2} e^2 p(e) de = \frac{1}{q} \int_{-q/2}^{q/2} e^2 de = \frac{q^2}{12}.$$



Среднеквадратичное значение шума квантования

$$\sigma_e = \frac{q}{\sqrt{12}} = \frac{q}{2\sqrt{3}}.$$

Шум квантования АЦП

Заметим, что пилообразная погрешность создаёт гармоники, лежащие дальше полосы $[0, f_d / 2]$. Однако все высшие гармоники должны переноситься (эффект наложения) в эту полосу и, затем суммируясь, образовать шум с действующим значением $\sigma_e = q / \sqrt{12}$.

Пусть на входе АЦП с диапазоном напряжения входного сигнала $\left[-\frac{q \cdot 2^n}{2}, \frac{q \cdot 2^n}{2}\right]$ действует полномасштабная синусоида

$$x(t) = \frac{q \cdot 2^n}{2} \sin 2\pi f t.$$

Среднеквадратичное значение входного сигнала $\sigma_x = \frac{q \cdot 2^n}{2\sqrt{2}}$.

Отношение «сигнал/шум» (SNR — Signal to Noise Ratio)

$$SNR = 20 \lg \left(\frac{\sigma_x}{\sigma_e} \right) = 20 \lg \left(\frac{q \cdot 2^n / 2\sqrt{2}}{q / 2\sqrt{3}} \right) = 20 \lg 2^n - 20 \lg \sqrt{2/3}$$
$$SNR = 6,02n + 1,76 \text{ (дБ)}$$

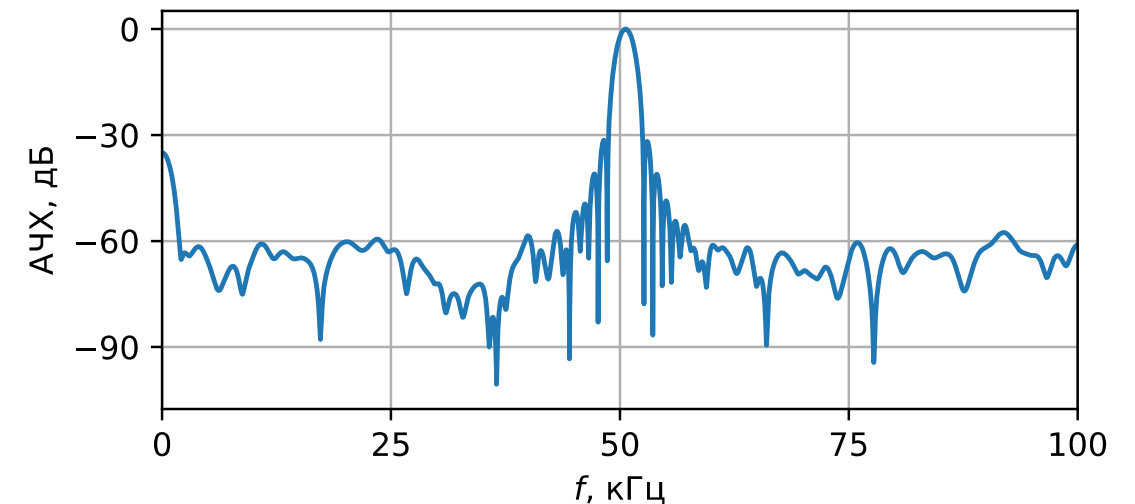
Относительный уровень шума квантования

$$\gamma = 20 \lg \left(\frac{\sigma_e}{\sigma_x} \right) = 20 \lg \left(\frac{q / 2\sqrt{3}}{q \cdot 2^n / 2\sqrt{2}} \right) = 20 \lg \frac{1}{2^n \sqrt{1,5}}$$
$$\gamma = -6,02n - 1,76 \text{ (дБ)}$$

Пример. На рисунке приведена оценка спектра сигнала, состоящего из отрезка синусоиды, полученная цифровым осциллографом PV6501 с $n=8$ битным АЦП с использованием окна Ханна. Относительный уровень шума квантования в дБ будет

$$\gamma = -(6,02n + 1,76) \text{ дБ} \approx -50 \text{ дБ}.$$

Проводить измерения сигналов и их спектров ниже этого уровня бессмысленно.



Задачи для самостоятельного решения

№1. Имеется одноканальная (моно) аудиозапись с битовой глубиной 16 бит на отсчёт (разрядность АЦП равна 16), представленная в виде .wav файла. Частота дискретизации 44100 Гц. Определите число уровней квантования АЦП и шаг дискретизации Δt . Оцените длительность сигнала, если объем файла составляет 280 КБ и никакое дополнительное сжатие не производится.

№2. Приведите континуальную запись (в виде последовательности дельта-функций) для следующих сигналов:

а) единичного импульса, задержанного на семь тактов дискретизации $x[k] = \mathbf{1}[k - 7]$,

б) дискретизованной синусоиды с относительной частотой $\nu_0 = \frac{1}{4}$

$$y[k] = \sin\left(2\pi \frac{1}{4} k\right),$$

в) последовательности из пяти единичных импульсов

$$x[k] = \sum_{m=0}^4 \mathbf{1}[k - m],$$

г) дискретной экспоненты вида

$$x[k] = \begin{cases} (-0,5)^k, & \text{при } k \geq 0, \\ 0, & \text{при } k < 0. \end{cases}$$

№3. Определить отношение «сигнал/шум» (SNR) и относительный уровень шумов квантования для
а) 8-разрядного АЦП, б) 10-разрядного АЦП,
в) 16-разрядного АЦП.